

V703

Das Geiger-Müller Zählrohr

Fritz Agildere	Amelie Strathmann
fritz.agildere@udo.edu	amelie.strathmann@udo.edu

Durchführung: 25. April 2023
Abgabe: 30. April 2023

TU Dortmund – Fakultät Physik

Inhaltsverzeichnis

1 Zielsetzung	2
2 Theorie	2
2.1 Funktionsweise	2
2.2 Funktionsbereiche	3
2.2.1 Charakteristik der Kennlinie	4
2.2.2 Kennzeichnende Zeitintervalle	5
2.2.3 Güte des Plateaus.....	5
2.3 Statistik.....	5
3 Durchführung	5
3.1 Vorbereitung.....	5
4 Auswertung	6
4.1 Fehlerrechnung.....	6
4.2 Kennlinie des Geiger-Müller-Zählrohrs	6
5 Diskussion	11
Literatur	11
Anhang	12

1 Zielsetzung

Im nachfolgenden Versuch wird die Kennlinie eines Geiger-Müller Zählrohrs aufgenommen und der Betriebsbereich bestimmt. Anschließend werden die charakteristischen Intervalle Totzeit, Auslösezeit und Erholungszeit untersucht.

2 Theorie [1]

Geiger-Müller Zählrohre dienen der Detektion ionisierender Strahlung. Da die Nachweiswahrscheinlichkeit für energiereiche Bereiche des elektromagnetischen Spektrums wie Röntgen- oder Gammastrahlung sehr gering ist, wird hauptsächlich Teilchenstrahlung betrachtet. Diese kann in Alpha- und Betastrahlung eingeteilt werden: Handelt es sich um Elektronen (e^-) heißt sie β^- -Strahlung, für Positronen (e^+) wird sie β^+ -Strahlung genannt. Setzt sie sich aus α -Teilchen zusammen sind damit Heliumkerne (${}^4_2\text{He}$) gemeint.



Abbildung 1: Verschiedene Bauformen von Geiger-Müller Zählrohren.

Es existieren vielfältige Bauformen (Abbildung 1), die sich aber im Wesentlichen eine Funktionsweise teilen.

2.1 Funktionsweise

Das Geiger-Müller Zählrohr besteht aus einem metallischen Zylinder entlang dessen Achse ein Zähldraht verläuft. Ein Eintrittsfenster aus Mylar- oder Glimmerfolie verschließt die Röhre, in der sich bei Unterdruck ein mit einem Kohlenwasserstoff versetztes Edelgas befindet. Zwischen Anodendraht und Kathodenzyylinder wird ein radialsymmetrisches elektrisches Feld angelegt.

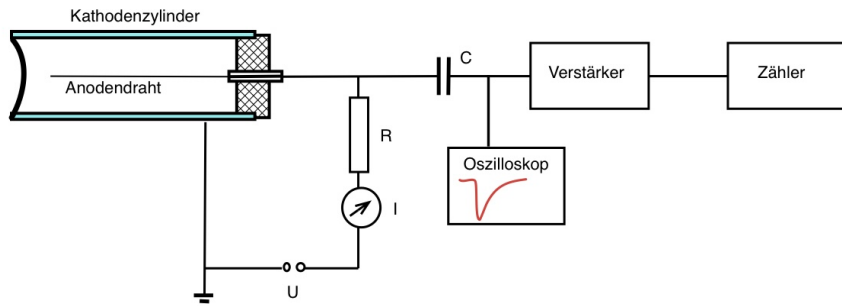


Abbildung 2: Schematischer Aufbau des Geiger-Müller Zählrohrs.

Einfallende ionisierende Strahlung produziert im Füllgasgemisch freie Elektronen, die wegen ihrer negativen Ladung zum Zähldraht beschleunigen, sowie positiv geladene Ionen, die in Richtung Zylinderwand wandern. Diese Ladungsträger können dabei weitere Moleküle ionisieren, sodass sich Kettenreaktionen ausbilden. Der entstehende Strom fließt über einen Widerstand im Bereich einiger $10^6 \Omega$ ab, sodass es bei ausreichender Stromstärke nahezu instantan zu einem Spannungsabfall kommt. Das Feld wird dadurch abgeschwächt und die Kettenreaktion stoppt. Nach Abfließen der Ladung nimmt die Feldstärke wieder zu und es kann ein weiterer Ionisationsprozess detektiert werden. Um die Spannungspulse messbar zu machen, ist dem Zähler noch ein Verstärker vorgeschaltet. Nachzuvollziehen ist dieser Aufbau mithilfe des Blockdiagramms in Abbildung 2.

2.2 Funktionsbereiche

Die Beziehung von Zählrate zu angelegter Spannung heißt Zählrohrcharakteristik und kann graphisch als Kennlinie (Abbildung 3) dargestellt werden. Daran lassen sich verschiedene Bereiche ablesen, in denen jeweils unterschiedliche physikalische Prozesse dominieren.

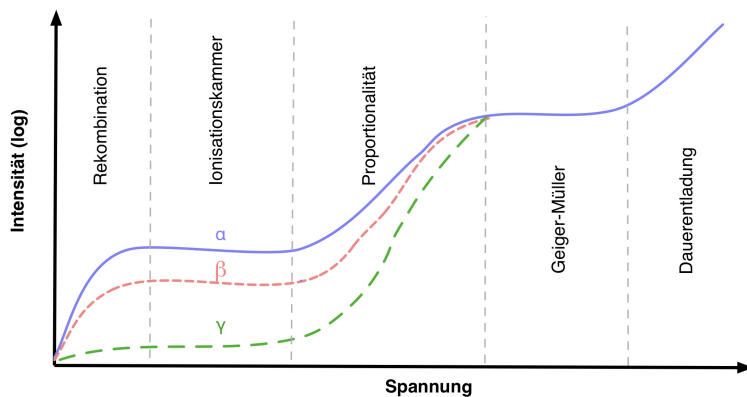


Abbildung 3: Typische Kennlinie eines Geiger-Müller Zählrohrs.

2.2.1 Charakteristik der Kennlinie

Die in Abbildung 3 eingetragenen Spannungsabschnitte werden nun genauer beschrieben:

Rekombination Bei geringen Spannungen rekombinieren sich die Ionisationsprodukte wieder zu neutralen Atomen, sodass sie nicht zum resultierenden Strom beitragen. Daher kann die Apparatur erst ab einer Mindestspannung Zerfälle nachweisen. Mit zunehmender Spannung wird dieser Einfluss vernachlässigbar gering.

Ionisationskammer Alle Ladungsträger erreichen die Elektroden, auf diese Weise stellt sich ein Sättigungsstrom ein. Es handelt sich dabei nur um durch die Primärstrahlung erzeugte Elektronen und Ionen, da die für sekundäre Ionisationsprozesse notwendige Energie in diesem Spannungsbereich nicht erreicht wird.

Proportionalität Die freigesetzten Elektronen erzeugen durch Stoßionisation weitere Elektronen-Ionen-Paare, lokalisiert um den Anodendraht findet dieser Prozess aufgrund der hohen Feldstärke lawinenartig statt. Abhängig von Zählrohrspannung, Gasdruck und Gasart, sorgen diese sogenannten Townsend-Lawinen für Verstärkungsfaktoren in der Ordnung 10^3 . Der Verlauf ist hier außerdem proportional zum spezifischen Ionisationsvermögen und erlaubt so eine Unterscheidung der einfallenden Strahlung nach Art und Energie. Dabei erzeugt α -Strahlung eine sehr große Ladung, für β - und γ -Strahlung fällt diese geringer aus.

Geiger-Müller Weiteres Erhöhen der Spannung sorgt dafür, dass im gesamten Zählrohrvolumen Townsend-Lawinen auftreten. Aufgrund der viel höheren tragen Masse der Ionen relativ zu den Elektronen, können erstere nicht ausreichend schnell abwandern, sodass sich um den Zähldraht eine abschirmende Raumladungswolke bildet. Diese verhindert das Auftreten weiterer Lawinen, die Magnitude der Impulse wird so unabhängig von der Strahlungsart auf den gleichen Wert beschränkt. Der Arbeitspunkt des Geiger-Müller Zählrohrs liegt im ersten Drittel des entstehenden Plateaus.

Im Geiger-Müller Bereich treten zusätzliche Störphänomene auf: Angeregte Gasatome emittieren Photonen, die am Kathodenzyylinder Photoelektronen erzeugen können, welche wiederum lawinenartig verstärkt werden. Ebenso führen Stöße energetischer Ionen mit der Zylinderwand zur zeitversetzten Emission von Sekundärelektronen, deren als Nachentladungen bezeichnete Ausgangsimpulse die gemessene Zählrate verfälschen. Zur Mitigation beider Prozesse kann ein Löschgas aus langketigen Alkoholmolekülen beigefügt werden, das Photonen absorbiert und Nachentladungsstöße dämpft.

Dauerentladung Ansetzen größerer Spannungen führt zum dauerentladungsbedingten exponentiellen Anstieg der Zählrate und zur langfristigen Zerstörung des Zählrohrs.

2.2.2 Kennzeichnende Zeitintervalle

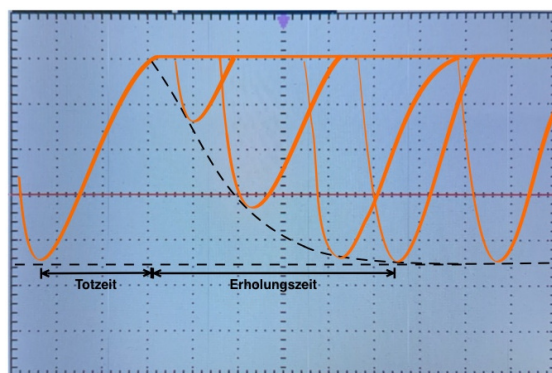


Abbildung 4: Bestimmung von Totzeit und Erholungszeit am Oszilloskop.

2.2.3 Güte des Plateaus

2.3 Statistik

3 Durchführung

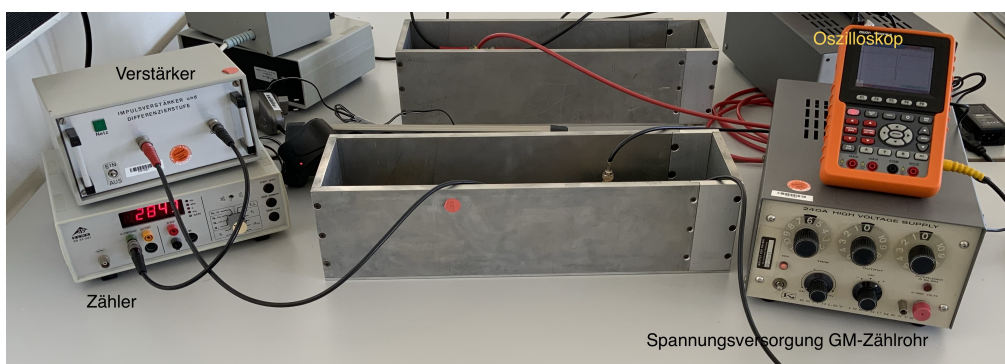


Abbildung 5: Aufbau der verwendeten Messanordnung.

3.1 Vorbereitung

4 Auswertung

Im Folgenden wird die Kennlinie des Geiger-Müller Zählrohrs bestimmt und die Anzahl der Ladungsträger wird anhand der Messwerte berechnet. Die Totzeit wird zunächst über die Zwei-Quellen-Methode und im Anschluss über das Oszilloskop bestimmt.

4.1 Fehlerrechnung

Die Fehlerrechnung, für die Bestimmung der Messunsicherheiten, wird mit Uncertainties [2] gemacht. Für die Formel der Gauß Fehlerfortpflanzung ist gegeben durch

$$\Delta f = \sqrt{\sum_{i=1}^N \left(\frac{\partial f}{\partial x_i} \right)^2 \cdot (\Delta x_i)^2}. \quad (1)$$

Für den Mittelwert gilt

$$\bar{x} = \frac{1}{N} \sum_{i=1}^N x_i. \quad (2)$$

Der Fehler des Mittelwertes ist gegeben durch

$$\Delta \bar{x} = \frac{1}{\sqrt{N}} \sqrt{\frac{1}{N-1} \sum_{i=1}^N (x_i - \bar{x})^2}. \quad (3)$$

4.2 Kennlinie des Geiger-Müller-Zählrohrs

Die aufgenommenen Messwerte zur Bestimmung der Kennlinie des Geiger-Müller-Zählrohrs sind in der Tabelle 1 dargestellt. Zudem wurde mit Hilfe der ?? der statistische Fehler λ bestimmt und ebenfalls aufgelistet. Der Plateau-Bereich hat eine Länge von 340 V , dieser beginnt bei 370 V und hört bei 710 V auf. Im ersten drittel des Plateaus lässt sich der Arbeitspunkt bei $U_A = 430$ ablesen.

Tabelle 1: Messdaten zur Bestimmung der Kennlinie des Geiger-Müller-Zählrohrs

U / V	N	$I / \mu\text{A}$	λ
330	17211	0.2	131
350	18298	0.2	135
370	18392	0.3	136
390	18818	0.4	137
410	18653	0.4	137
430	18946	0.5	138
450	18915	0.6	138
470	18905	0.7	137
490	18934	0.8	138
510	18970	0.8	138
530	19015	0.8	138
550	19336	0.9	139
570	19235	1	139
590	19174	1	138
610	19224	1.1	139
630	18991	1.2	138
650	19082	1.2	138
670	19548	1.3	140
690	19505	1.3	140
710	20031	1.4	142
730	20429	1.5	143
750	21666	1.6	147

Die Messdaten der Detektorspannung U wurden gegen die Zählrate N aufgetragen und in der Abbildung 6 dargestellt. Die Ausgleichsgrade hat die Form

$$N = a \cdot U + b.$$

Die Gerade beschreibt den Plateau-Bereich. Der Parameter a beschreibt die Plateau-Steigung des Geiger-Müller-Zählrohrs. Mit Hilfe von Linearer Regression, welche mit SciPy [3] durchgeführt wurde, ergeben sich die Werte

$$\begin{aligned} a &= (0,018 \pm 0,003) \text{ V}^{-1} \quad \text{und} \\ b &= 149,499 \pm 1,720. \end{aligned}$$

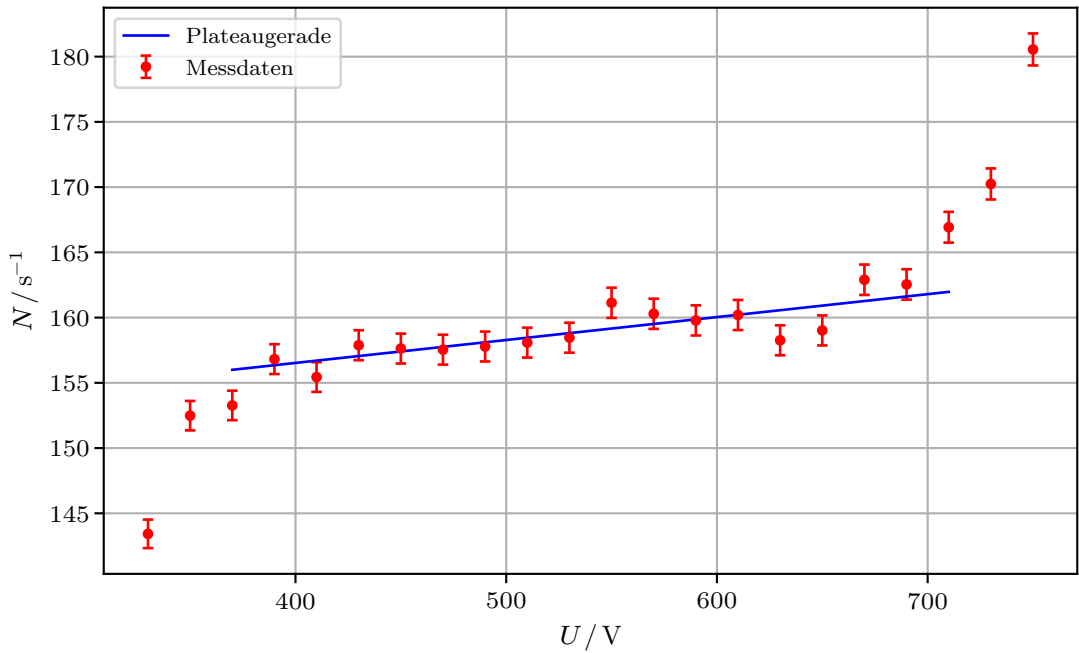


Abbildung 6: Messwerte der Detektorspannung wurde gegen die Zählrate aufgetragen.
Zudem die Ausgleichsgrade des Plateau-Bereichs.

In der Tabelle 2 sind die gemessenen Werte für die Spannung U und die Stromstärke I abgebildet. Zusätzlich wurde die Anzahl der detektierten Ladungsträger Z pro einfallenden Teilchen anhand der Formel

$$Z = \frac{t \cdot I}{e}$$

berechnet. Dabei beträgt $t = 120\text{ s}$ und die Elementarladung e ist gegeben durch $e = 1.6 \cdot 10^{-19}\text{ coulomb}$.

Tabelle 2: Anzahl der Ladungsträger gegen die Detektorspannung aufgetragen.

U / V	N	$I / \mu\text{A}$	$Z \cdot 10^{14}$
330	17211	0.2	1.498
350	18298	0.2	1.498
370	18392	0.3	2.247
390	18818	0.4	2.996
410	18653	0.4	2.996
430	18946	0.5	3.745
450	18915	0.6	4.494
470	18905	0.7	5.243
490	18934	0.8	5.992
510	18970	0.8	5.992
530	19015	0.8	5.992
550	19336	0.9	6.741
570	19235	1	7.490
590	19174	1	7.490
610	19224	1.1	8.239
630	18991	1.2	8.988
650	19082	1.2	8.988
670	19548	1.3	9.737
690	19505	1.3	9.737
710	20031	1.4	10.486
730	20429	1.5	11.235
750	21666	1.6	11.984

In der Abbildung 7 wurden die berechneten Werte für die Anzahl der freigesetzten Teilchen Z gegen die Detektorspannung U aufgetragen. Dabei ist ein Anstieg der Ladungsträger proportional zur Spannung erkennen. In dem vorher bestimmten Plateau-Bereich ist zu erkennen, dass der Anstieg von Z nachlässt.

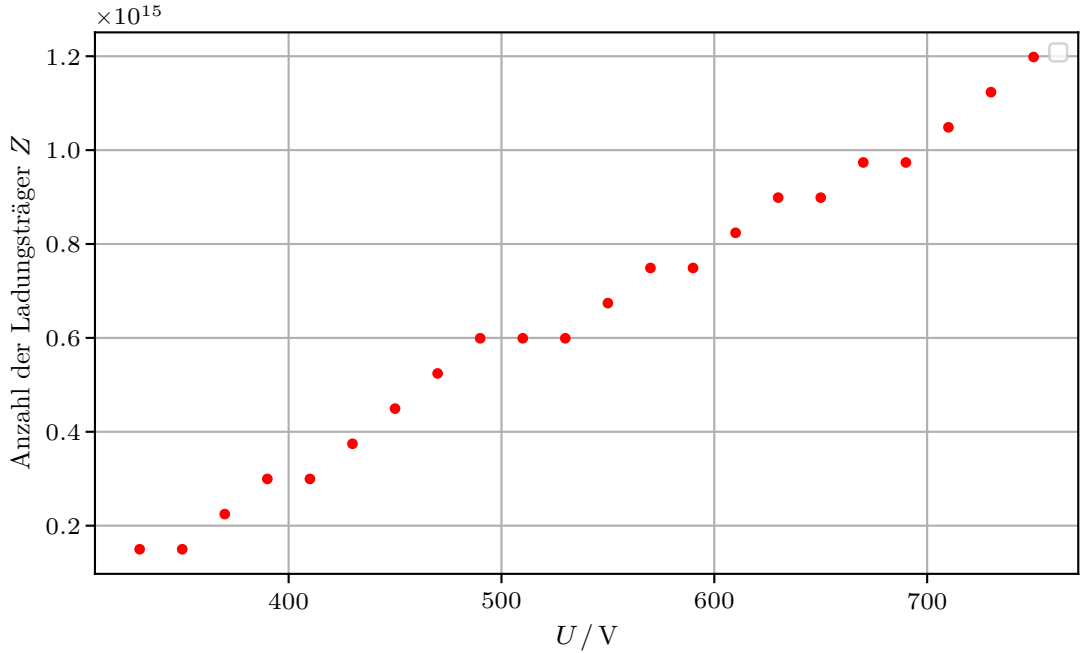


Abbildung 7: Die berechneten Werte der Anzahl der freigesetzten Teilchen Z aufgetragen gegen die Detektorspannung U .

Um die Totzeit zu bestimmen werden zwei Verfahren genutzt. Zunächst wird die Zweiquellen Methode verwendet. In einem Zeitraum von $t = 120\text{ s}$ bei einer Spannung von $U = 440\text{ V}$ wurden für zwei Proben die Zähleraten einmal einzeln und zusammen gemessen. In der Tabelle 3 sind die aufgenommenen Zähleraten der einzelnen Proben und beider zusammen dargestellt.

Tabelle 3: Die Zählerate N_1, N_2 und N_{12} .

N_1	N_2	N_{12}
105168 ± 324.296	166372 ± 407.887	236573 ± 486.388

Aus den gemessenen Werten ergibt sich die Totzeit τ mit

$$\tau = \frac{N_1 + N_2 - N_{12}}{N_{12}^2 - N_1^2 - N_2^2} = (2.03 \pm 0.07) \mu\text{s.}$$

5 Diskussion

Literatur

- [1] *Anleitung zu Versuch 703, Das Geiger-Müller Zählrohr.* TU Dortmund, Fakultät Physik. 2023.
- [2] Eric O. Lebigot. *Uncertainties: a Python package for calculations with uncertainties.* Version 2.4.6.1. URL: <http://pythonhosted.org/uncertainties/>.
- [3] Pauli Virtanen u. a. „SciPy 1.0: Fundamental Algorithms for Scientific Computing in Python“. Version 1.9.3. In: *Nature Methods* 17 (2020), S. 261–272. DOI: 10.1038/s41592-019-0686-2.

Anhang